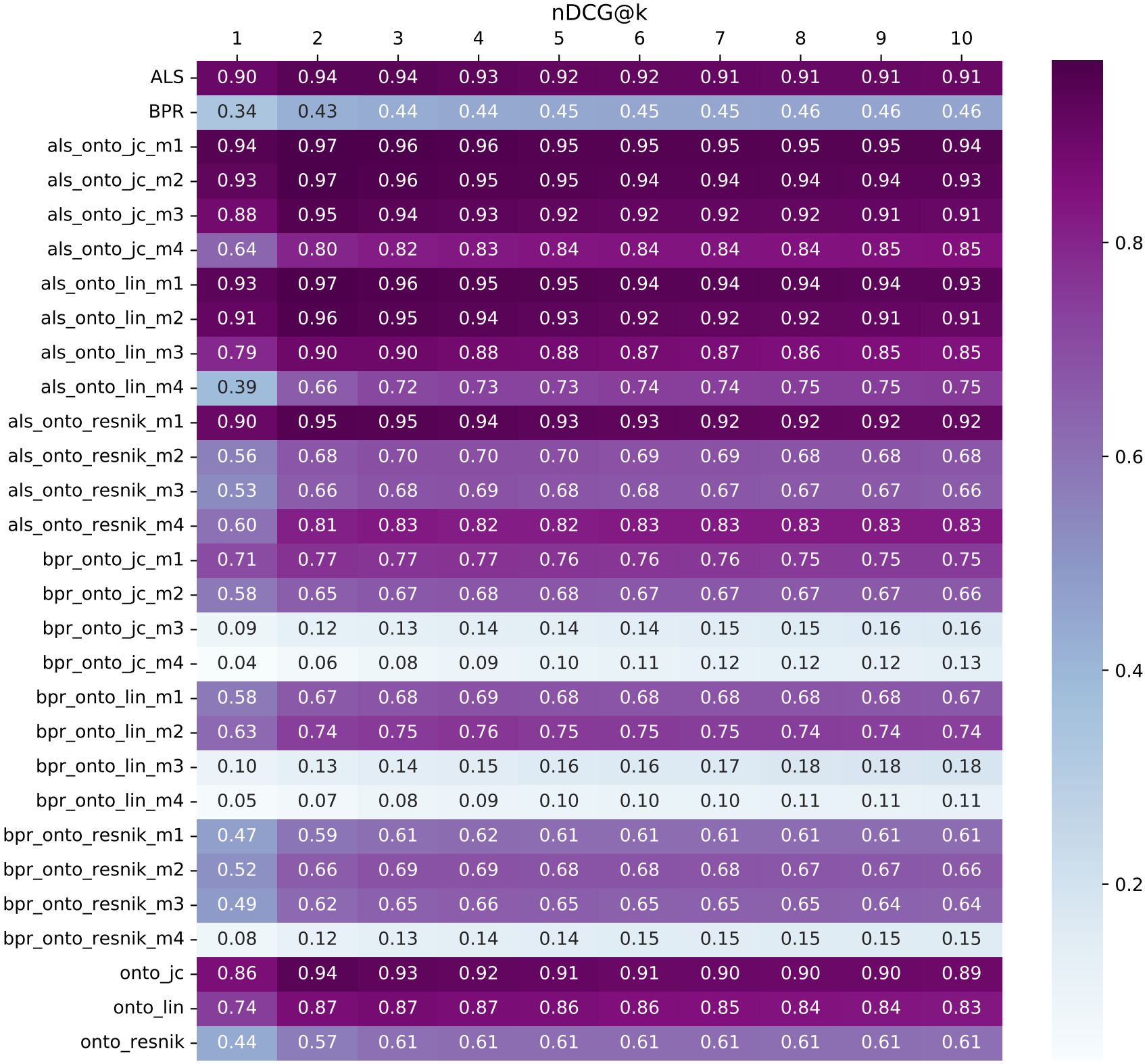
nDCG@k
1 2 3 4 5 6 7 8 9 10
ALS 0.90 0.94 0.94 0.93 0.92 0.92 0.91 0.91 0.91 0.91
BPR 0.34 0.43 0.44 0.44 0.45 0.45 0.45 0.46 0.46 0.46
als_onto_jc_m1 0.94 0.97 0.96 0.96 0.95 0.95 0.95 0.95 0.95 0.94
als_onto_jc_m2 0.93 0.97 0.96 0.95 0.95 0.94 0.94 0.94 0.94 0.93
als_onto_jc_m3 0.88 0.95 0.94 0.93 0.92 0.92 0.92 0.92 0.91 0.91
als_onto_jc_m4 0.64 0.80 0.82 0.83 0.84 0.84 0.84 0.84 0.85 0.85
als_onto_lin_m1 0.93 0.97 0.96 0.95 0.95 0.94 0.94 0.94 0.94 0.93
als_onto_lin_m2 0.91 0.96 0.95 0.94 0.93 0.92 0.92 0.92 0.91 0.91
als_onto_lin_m3 0.79 0.90 0.90 0.88 0.88 0.87 0.87 0.86 0.85 0.85
als_onto_lin_m4 0.39 0.66 0.72 0.73 0.73 0.74 0.74 0.75 0.75 0.75
als_onto_resnik_m1 0.90 0.95 0.95 0.94 0.93 0.93 0.92 0.92 0.92 0.92
als_onto_resnik_m2 0.56 0.68 0.70 0.70 0.70 0.69 0.69 0.68 0.68 0.68
als_onto_resnik_m3 0.53 0.66 0.68 0.69 0.68 0.68 0.67 0.67 0.67 0.66
als_onto_resnik_m4 0.60 0.81 0.83 0.82 0.82 0.83 0.83 0.83 0.83 0.83
bpr_onto_jc_m1 0.71 0.77 0.77 0.77 0.76 0.76 0.76 0.75 0.75 0.75
bpr_onto_jc_m2 0.58 0.65 0.67 0.68 0.68 0.67 0.67 0.67 0.67 0.66
bpr_onto_jc_m3 0.09 0.12 0.13 0.14 0.14 0.14 0.15 0.15 0.16 0.16
bpr_onto_jc_m4 0.04 0.06 0.08 0.09 0.10 0.11 0.12 0.12 0.12 0.13
bpr_onto_lin_m1 0.58 0.67 0.68 0.69 0.68 0.68 0.68 0.68 0.68 0.67
bpr_onto_lin_m2 0.63 0.74 0.75 0.76 0.75 0.75 0.75 0.74 0.74 0.74
bpr_onto_lin_m3 0.10 0.13 0.14 0.15 0.16 0.16 0.17 0.18 0.18 0.18
bpr_onto_lin_m4 0.05 0.07 0.08 0.09 0.10 0.10 0.10 0.11 0.11 0.11
bpr_onto_resnik_m1 0.47 0.59 0.61 0.62 0.61 0.61 0.61 0.61 0.61 0.61
bpr_onto_resnik_m2 0.52 0.66 0.69 0.69 0.68 0.68 0.68 0.67 0.67 0.66
bpr_onto_resnik_m3 0.49 0.62 0.65 0.66 0.65 0.65 0.65 0.65 0.64 0.64
bpr_onto_resnik_m4 0.08 0.12 0.13 0.14 0.14 0.15 0.15 0.15 0.15 0.15
onto_jc 0.86 0.94 0.93 0.92 0.91 0.91 0.90 0.90 0.90 0.89
onto_lin 0.74 0.87 0.87 0.87 0.86 0.86 0.85 0.84 0.84 0.83
onto_resnik 0.44 0.57 0.61 0.61 0.61 0.61 0.61 0.61 0.61 0.61
0.8
0.6
0.4
0.2